

Необходимость создания цифрового измерительного прибора эфирной среды

1. Новые подходы к познанию “Эфиродинамики” – “Градиентная Эфиродинамика”
2. Современное состояние измерений в физике и отсутствие измерительных приборов для метрологии параметров эфира.
3. **Эфиродинамические электронные компоненты**, положенные в основу создания измерительной системы самого главного параметра эфира – изменения давления эфирной среды.
4. **Измерители Градиентов переменного Эфирного Давления** серий **ИГЭД-1 (MGEP-1)** и **ИГЭД-2(гр) (MGEP-2gi)** - с развязкой гальванической измерительного и индикаторного модулей.
5. Торсионный Лабораторный Генератор “TorgGenLab-1”.

Российский междисциплинарный семинар № 772 по темпорологии имени А.П. Левича
Доклад 27.09.2022г. - http://www.course-as.ru/AEM_GE/AEM_MGEP-series.mp4

единственная непротиворечивая теория эфира!

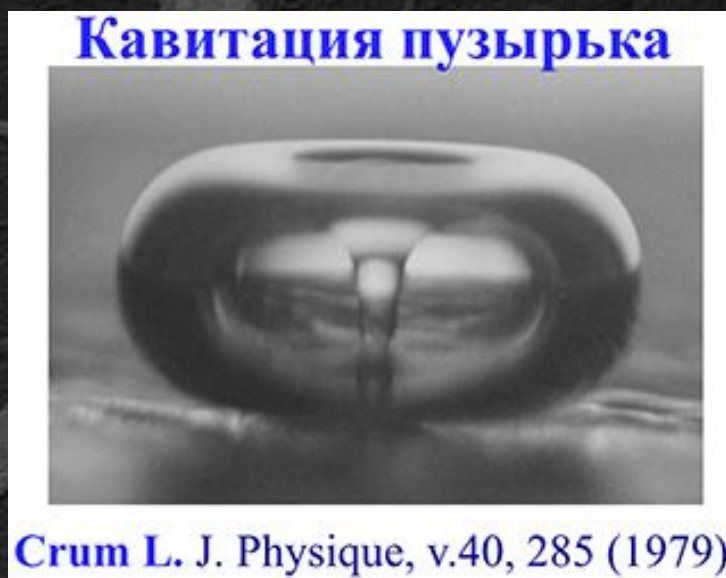
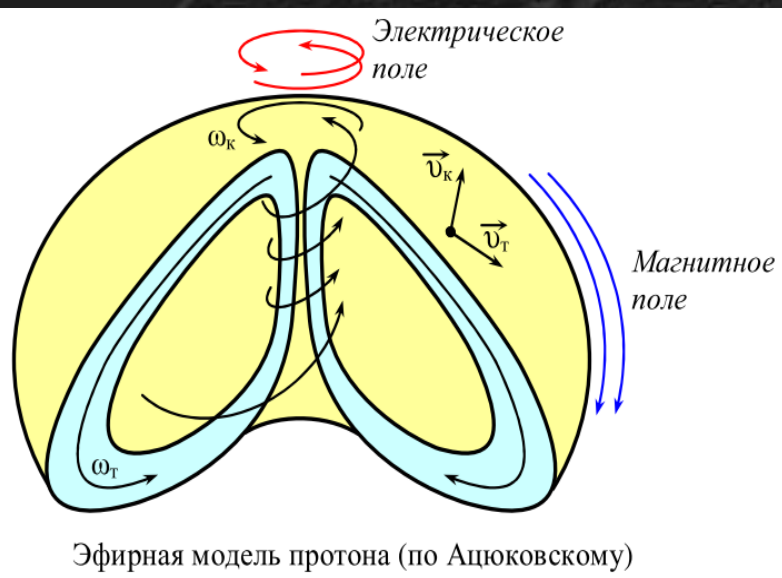
Основные базовые положения Эфиродинамики :

- 1. Исправлена ошибка предшественников о неподвижном стационарном эфире как мировой среде обитания – эфир находится непрерывном движении в микромире, макромире и на астрономических масштабах.**
- 2. Определены пределы основных параметров эфира, один из которых – давление эфира $P_e > 1.3 * 10^{35} \text{ kg/m}^2$ подтверждено по рассеянию электронов на протонах на Стэнфордском ускорителе (SLAC) - давление внутри протона $P_p \approx 10^{34} \text{ kg/m}^2$ - полная корреляция с предсказанным.**
- 3. Дано модельное представление эфирного вихря протона – основного строительного материала, из которой построены все материальные объекты Вселенной – от атомов и молекул до планет, звезд и галактик, построенных на эфирных тороидальных вихрях всех масштабов.**

По заветам Ацюковского В. А., сказавшего, что “Эфиродинамика требует дальнейшего развития теории эфира”, опираясь на достигнутые результаты, предлагается дополнительный инструментарий исследования, основанный на градиенте эфирного давления, – “Градиентная Эфиродинамика**”.**

Эфиродинамическая основа эфирной среды – **Тороидальный Вихревой Процесс** от протона до галактик – как результат взаимодействия “Градиентов Эфирного Давления”

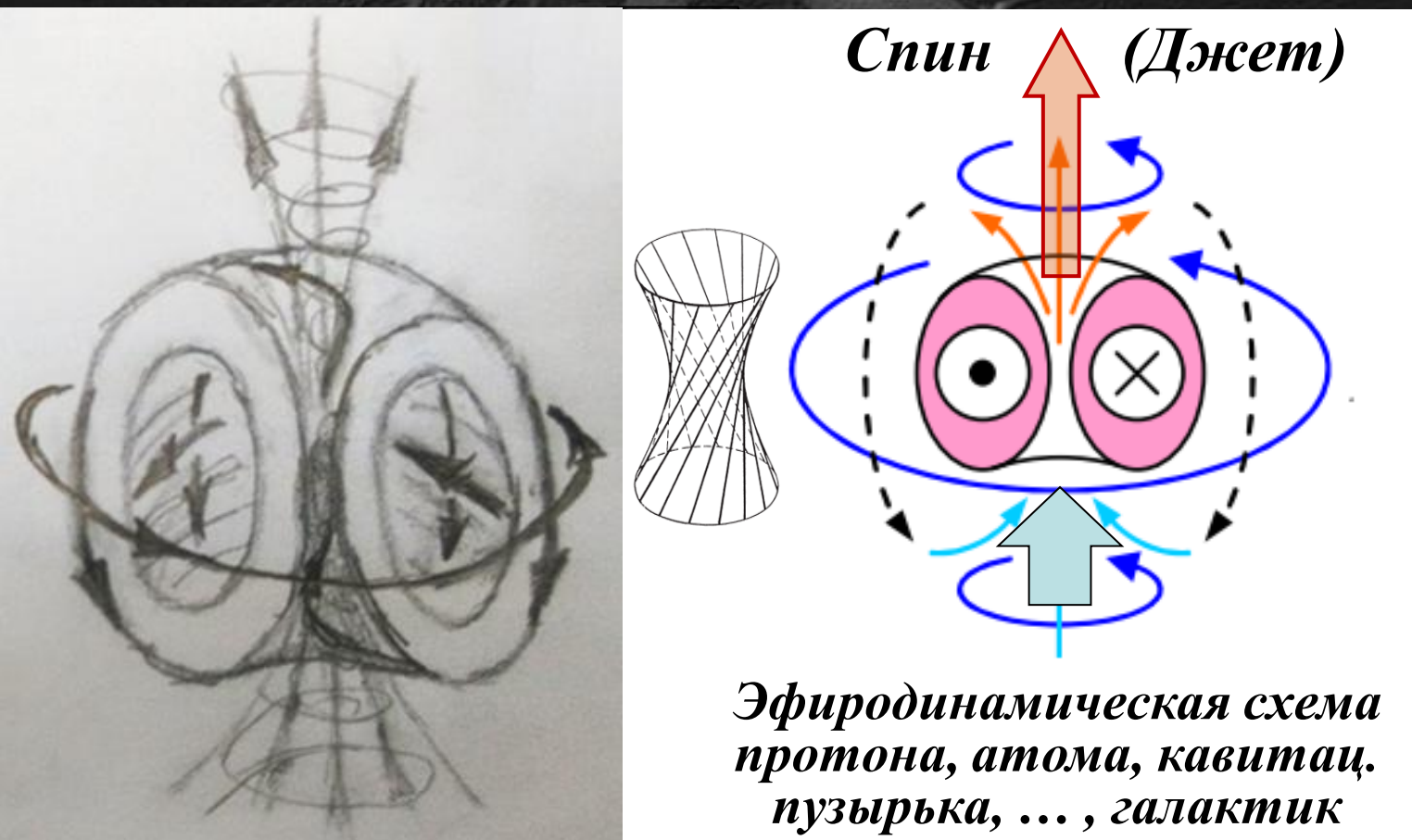
Модель Ацюковского В. А.



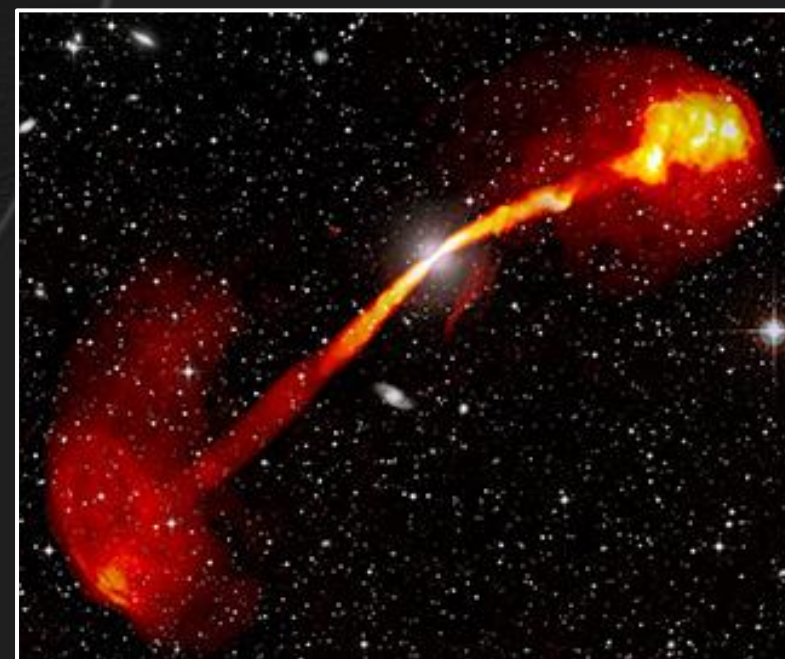
Эфиродинамическая модель тороидального эфирного вихря

Тороидальная эфирная модель Ацюковского расширена существенным вкладом прогоняемого через его центральную область эфирного потока, который представляет собой **спин (джет)** для всего диапазона масштабов: (у галактик и звезд эфирный сдвоенный тороид вращения зеркально отраженный).

Модель Эфирного Тороидального Вихря со Спином

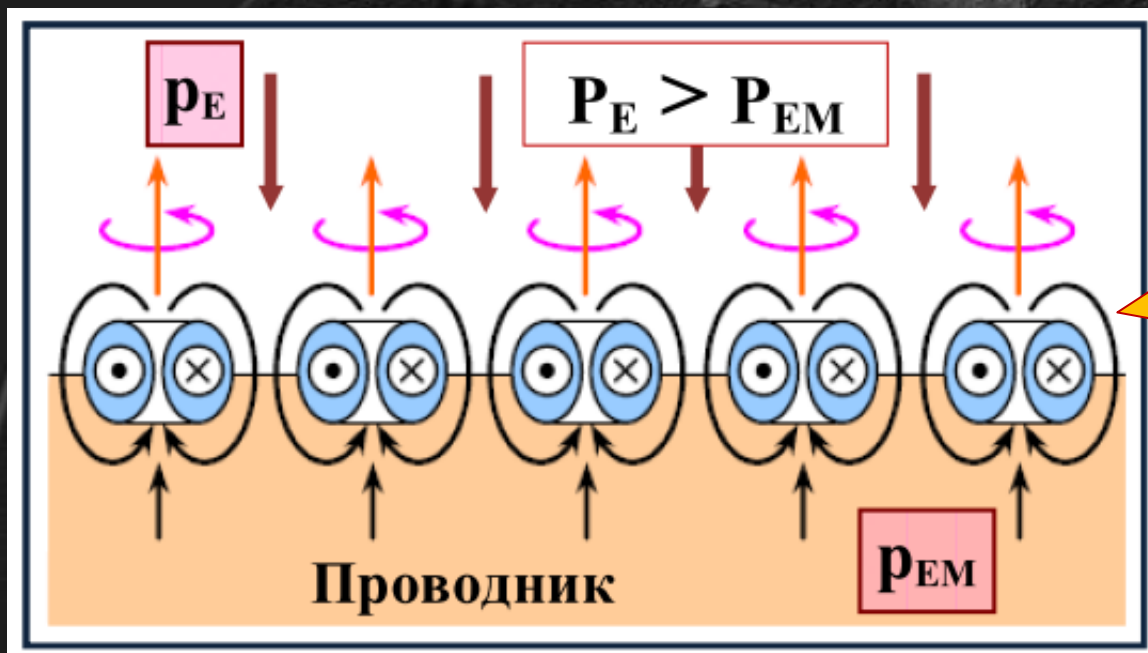


Джеты галактики IC 4296



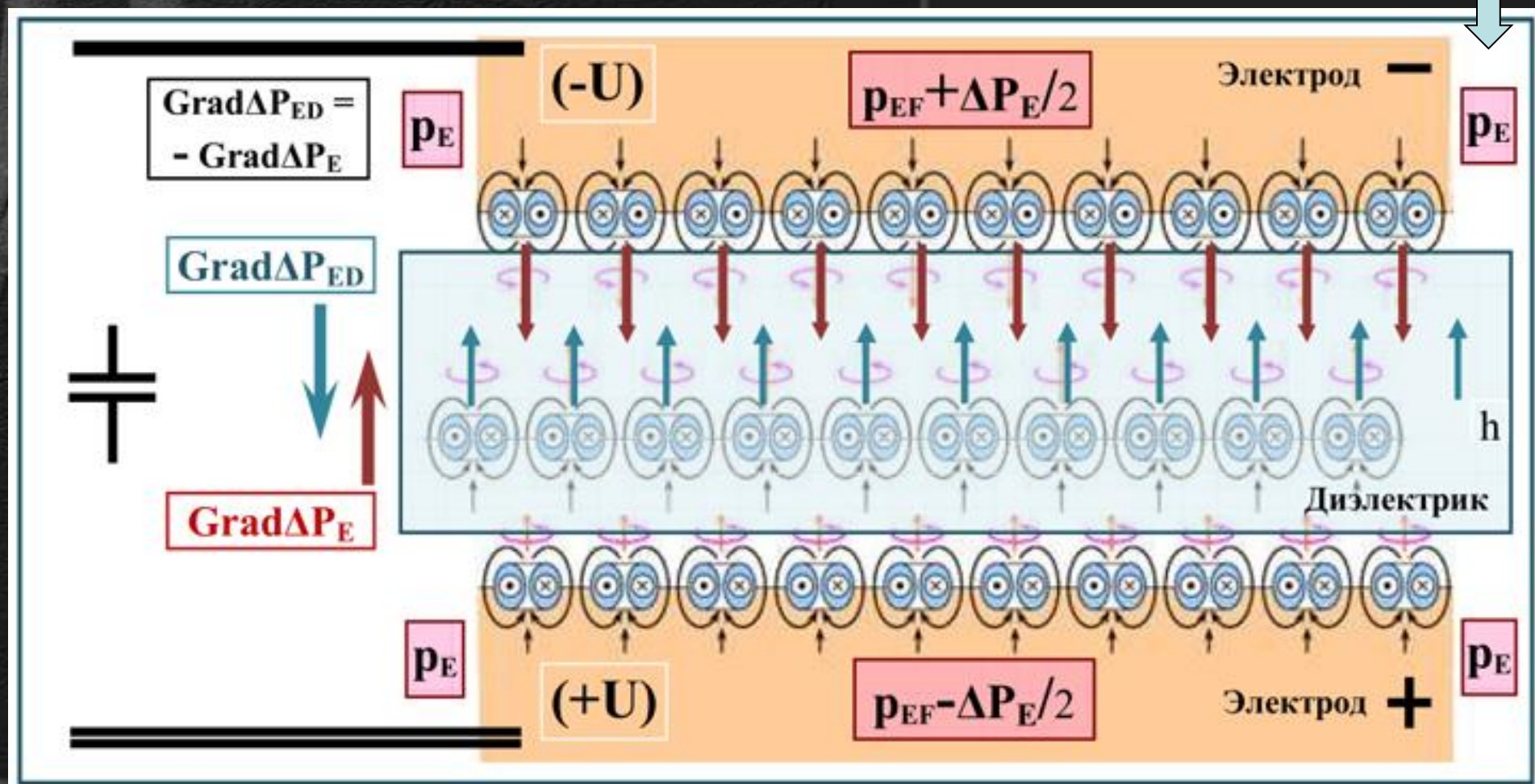
Эфиродинамическая основа цифровых измерительных приборов
 главного параметра эфирной среды – переменной составляющей
 эфирного давления – “Градиентов Эфирного Давления”

GED-05



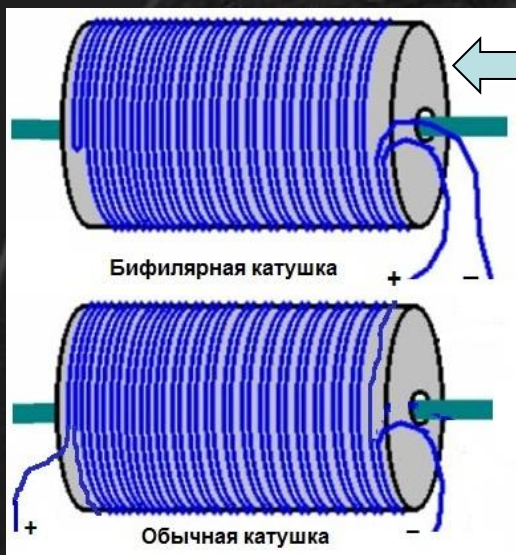
Эфиродинамика. Статика
http://www.course-as.com/download/zip/AEM_EI-p1.pdf
 “Поверхность Ферми” проводника.
 Давление эфира внутри проводника значительно
 ниже давления эфира в окружающей среде
Конденсатор с диэлектриком (внизу) –
 компонент эфиродинамической электроники.

Электрический ток
 в проводнике есть
 градиентный поток
 эфира, текущего за
 счет разности внут-
 реннего эфирного
 давления $+/-\Delta P_E/2$
 в проводнике, соз-
 данного на его кон-
 цах внешним ис-
 точником эфирного
 давления.



Эфиродинамические основы “Бифилярной катушки” – второго компонента **детектора измерений колебаний давления эфирной среды** в “Измерителе Градиентов Эфирного Давления”

Бифиляр “Купера”



Цилиндр. катушка

Условное обозначение



Бифилярных катушек

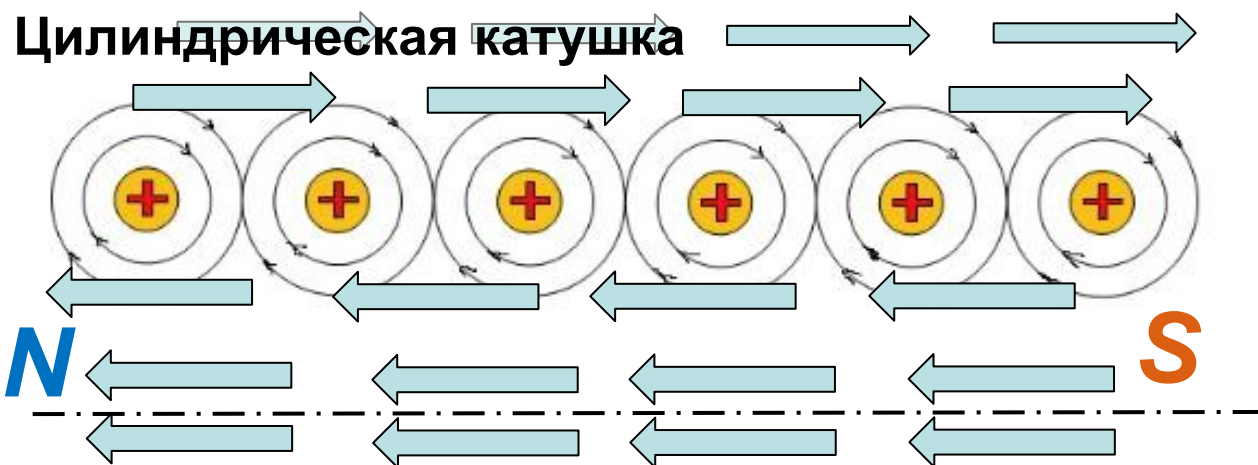
Эфиродинамическая модель бифиляра

Переменный эфирный поток в теле бифилярной катушки (“электрический ток”) не создает “электромагнитного излучения”, не возникают “магнитные полюса”, характерные для обычной катушки, **возникают разнонаправленные потоки эфира между соседними проводниками**, синхронно и циклично изменяющиеся этому вихревому потоку. Этим порождаются разноразмерные вихревые тороидальные эфирные образования, обладающие уникальной сверхпроникающей способностью.

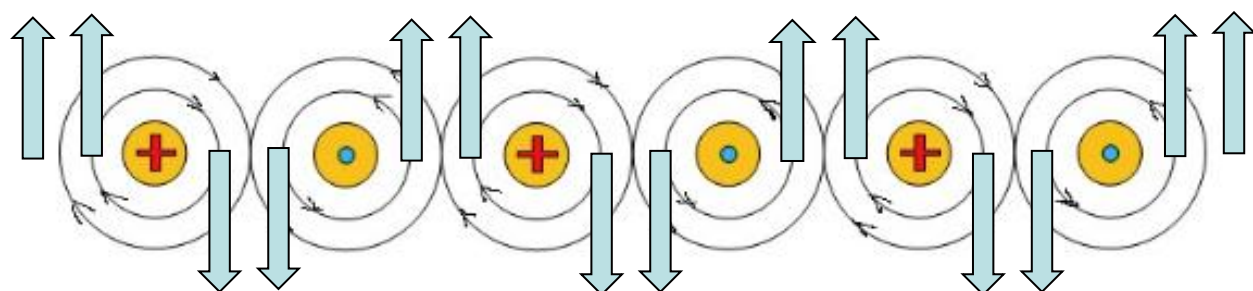
Спектральная характеристика не имеет ярко выраженной резонансной частоты, а растянута по спектру.

Индуктивность бифиляра $L=0$.

Бифилярная приемная катушка идеально регистрирует эфирное вихревое излучение передающей катушки.

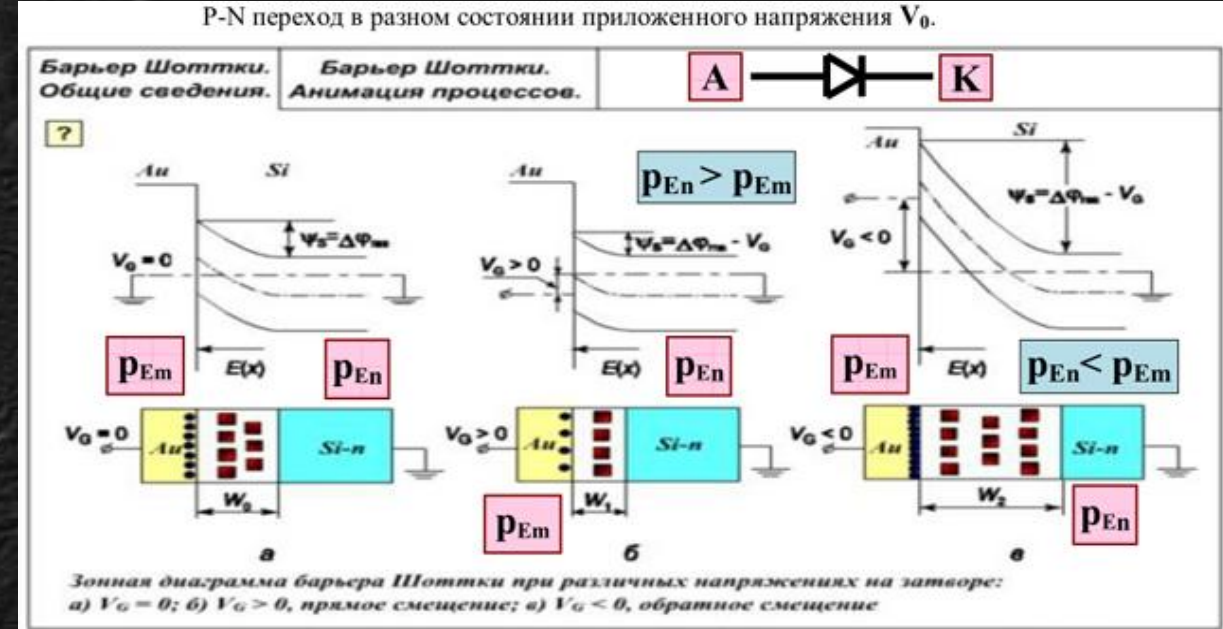
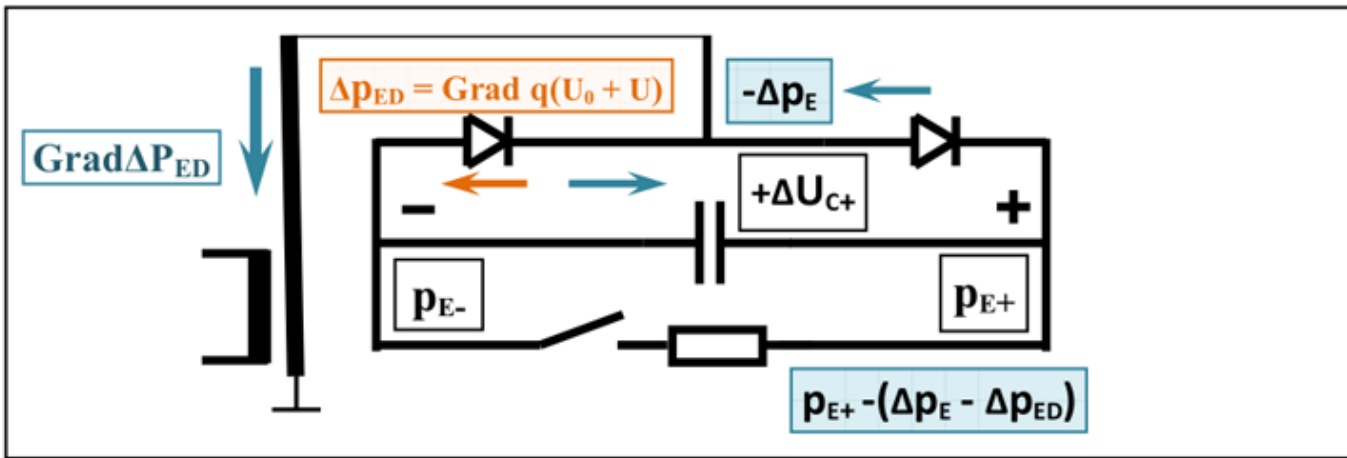
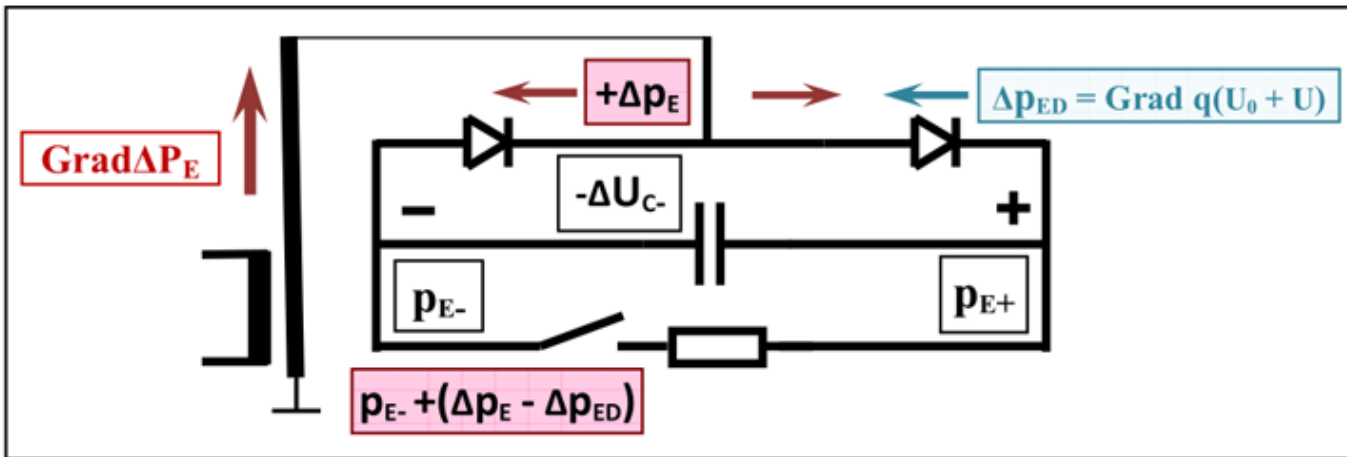


Бифилярная катушка Купера, Теслы, Мишина

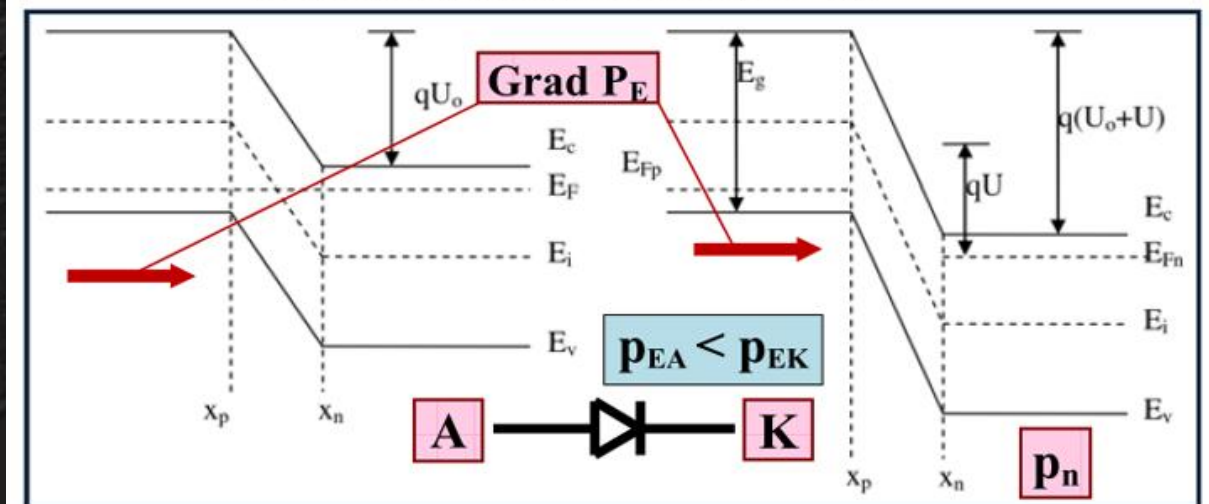
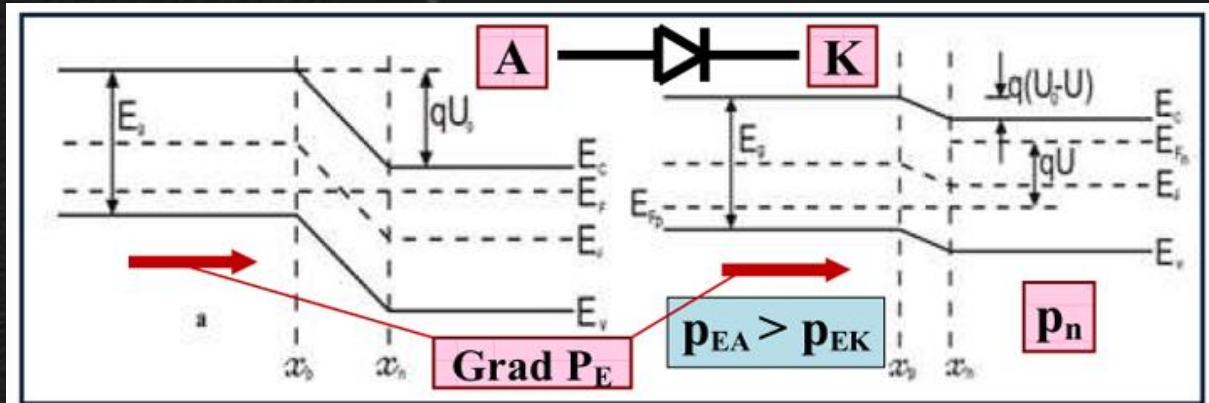


Эфиродинамические основы "Вилки Авраменко" – основного компонента детектора измерений колебаний давления эфирной среды в "Измерителе Градиентов Эфирного Давления"

GED-07



<http://www.course-as.com/download/zip/AEM EI-p1.pdf>



ка $\Phi 10$ мм
 катушка плотная бидилярная
 Провод $\Phi 1$ мм в изоляции медь $0,7$ мм



"Вилка Авраменко"
 ← и Измеритель
 Градиентов Эфирного
 Давления – "ИГЭД-0".
 Распределение →
 внутренних давлений
 эфира в диоде при
 прямом и обратном
 включениях.

Эфиродинамическая основа "Измерителе Градиентов Эфирного Давления" - детектор, построенный на двух эфирных компонентах: "Вилке Авраменко" и "Бифилярной катушке".

GED-08

Эфиродинамический детектор

Бифилярная катушка, в связке с "Вилкой Авраменко", представляют **эфиро-динамический детектор** переменных эфирных потоков окружающей среды.

Детектор "ИГЭД-1и" с **переключением диапазонов** интегрирования процессов (конденсатор от 1.0 nF до 1000 nF).

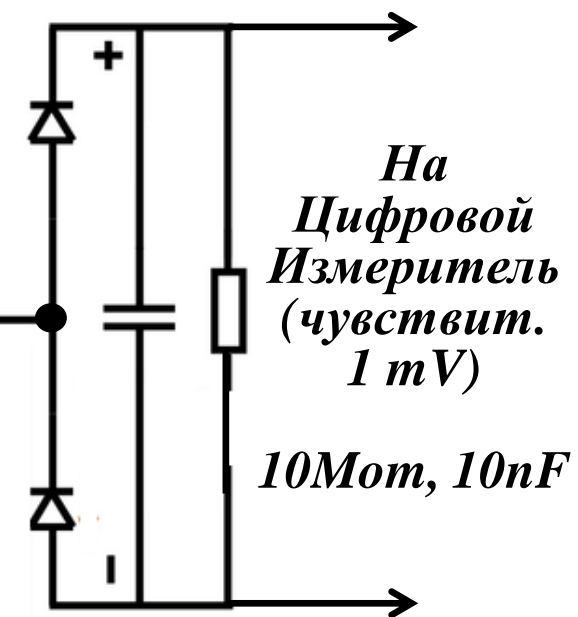
Детектор от "ИГЭД-1+" имеет весьма **увеличенную чувствительность** путем удвоения количества диодов в "вилке".

Измеритель Градиентов Эфирного Давления: детектор "ЭД-1и" и "ИГЭД-1+" ("МГЕР-1+")



Цилиндрический бифиляр 20 вит. на $\Phi = 8-10\text{mm}$
Си $\Phi = 0.5\text{mm}$
Изоляц. $\Phi = 1.0\text{mm}$

Импульсные Диоды BAW76



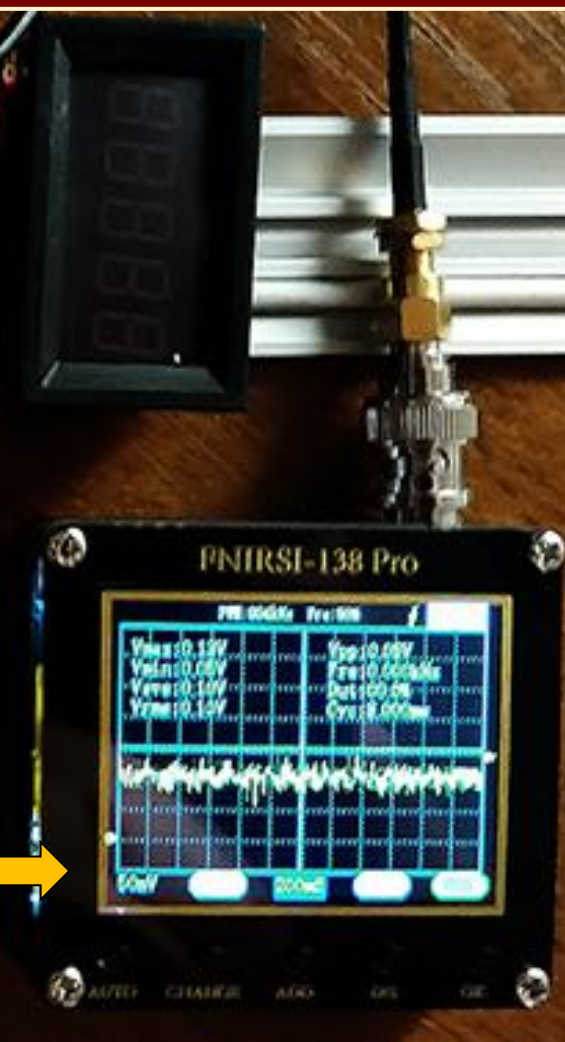
Эфиродинамический детектор, с гальванической развязкой -
 "Измеритель Градиентов Эфирного Давления - ИГЭД- 2гр".
 Визуализация на осциллографе и на цифровом индикаторе.

Эфиродинамический детектор с гальванической развязкой "ИГЭД- 2гр" (MGEP-2gi)

Детектор "ЭД-2гр" в измерителе "ИГЭД- 2гр" (MGEP-2gi) имеет входной каскад с входным сопротивлением $50\text{M}\Omega$ на выходе "Вилки Авраменко", с возможностью переключения делителя сигнала в режим 1:5 (не работает закон Ома – сигнал уменьшается *немногим более 2-х раз*);
 Операционный усилитель с установленным коэффициентом усиления равным **1.0**, входной сигнал колебаний эфирной среды существенно меньше **2 mV**, как на детекторе "ЭД-2", вырос до значений **90-100 mV**.



Детектор "ЭД-2гр", за счет *гальванической развязки* второго каскада с $K_{ус}=1$, позволил вывести сигнал эфирной среды на цифровой осциллограф с входным сопротивлением **1 M Ω** (тоже с гальванической развязкой).



**Эфиродинамический детектор, с гальванической развязкой -
 "Измеритель Градиентов Эфирного Давления - ИГЭД- 2гр".
 Визуализация на осциллографе и на цифровом индикаторе.**

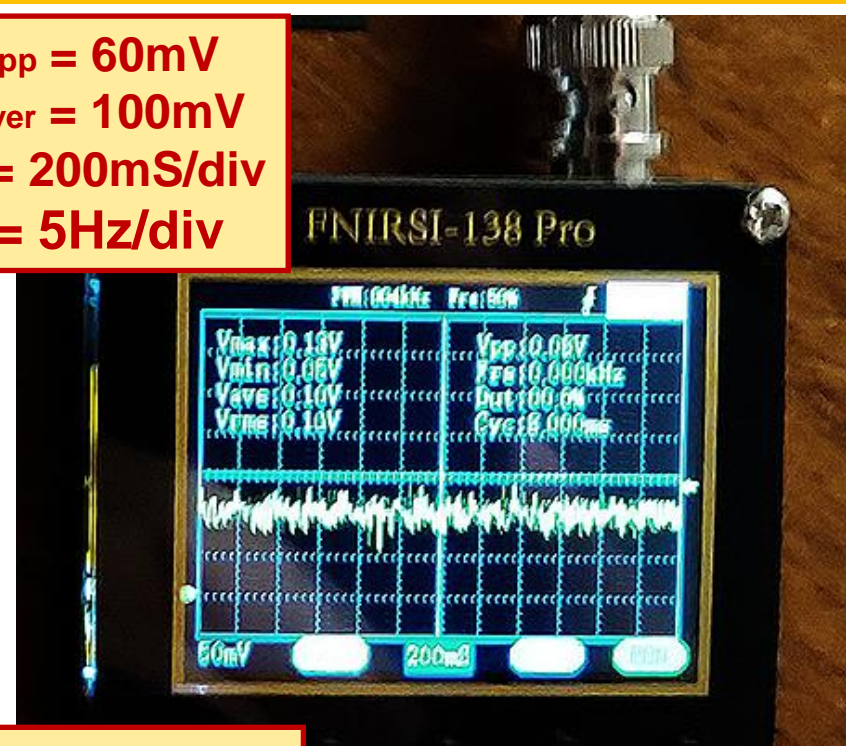
GED-10

Эфиродинамический детектор с гальванической развязкой "ИГЭД- 2гр" (MGEP-2gi)



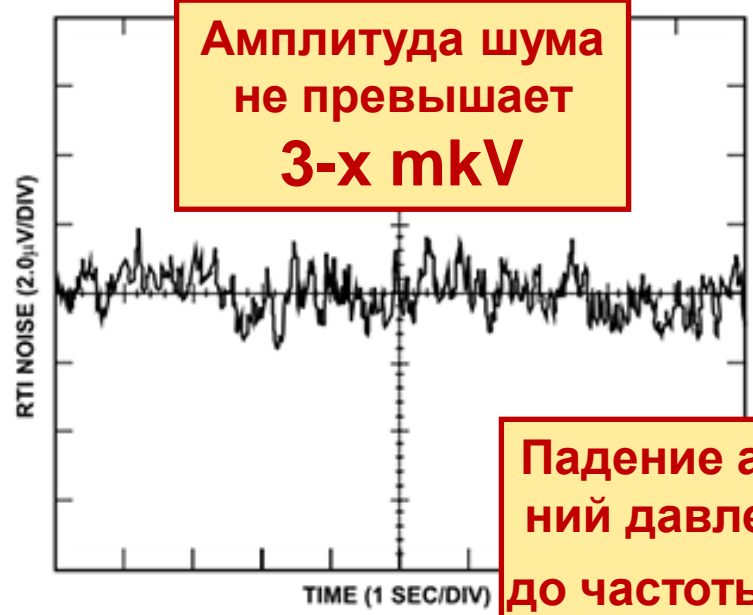
Падение амплитуды шума от 5Hz до частоты 1kHz равно 3!

$V_{pp} = 60mV$
 $V_{aver} = 100mV$
 $1/f = 200mS/div$
 $f = 5Hz/div$



V_{pp} = амплитуда колебаний эфирного давления
 V_{aver} = средне интегральная составляющая колебаний эфирного давления
 $1/f$ = величина длительности, приходящееся на 1-у клетку
 f = частота, приходящейся на 1-у клетку

Figure 11. Current Noise Spectral Density vs. Frequency



Амплитуда шума не превышает 3-х мкV

$V_{pp} = 50mV$
 $V_{aver} = 100mV$
 $1/f = 200nS/div$
 $f = 5kHz/div$



Падение амплитуды колебаний давления эфира от 5Hz до частоты 5kHz равно 1.2!!

Для визуализации переменной составляющей эфирного давления применен осциллограф с автономным аккумуляторным питанием, обеспечивающий полную гальваническую развязку от внешнего воздействия - эффект однопроводной линии.

Figure 12. 0.1 Hz to 10 Hz RTI Voltage Noise (G = 1)

Эфиродинамический детектор, с гальванической развязкой -
"Измеритель Градиентов Эфирного Давления - ИГЭД- 2гр".
Визуализация на мультиметре с чувствительностью 1mV.

Эфиродинамический детектор с гальванической развязкой "ИГЭД- 2гр" (MGEP-2gi)

Детектор "ЭД-2гр" в модификации с автономным аккумуляторным питанием на измерителе "ИГЭД-2гр" (MGEP-2gi) и выходом на локальный измеритель, и/или на мультиметр высокого разрешения с автономным питанием (авторским) :
(4_2/3 десятичных разряда – 55000 ступеней измерений).



Возможности Эфиродинамических измерений с применением "Измерителей Градиентов Эфирного Давления" серии "ИГЭД" .

GED-12

Что позволяет измерять "ИГЭД-1+":

1. **Интегральные колебания давления окружающей эфирной среды** визуализируются с **точностью до 0.01% в реальном времени** – постоянная времени равна 0.5 сек.;
2. **Колебания давления окружающей эфирной среды**, регистрируемое в течении дня, **более чем в 2 раза больше** минимального колебания давления окружающей эфирной среды;
3. **Увеличение давления эфирной среды над поверхностью сосуда с водой** или водным раствором до 25-30% от **колебания давления окружающей эфирной среды** – реакция на прохождение равновесной реакции Жаботинского-Белоусова с диссоциацией водных растворов на кластеры, и обратно;
4. **Эфиродинамическая составляющая** импульсного электромагнитного излучения, в том числе полностью экранированного, диапазон – **более 7-ми десятичных порядков !** ;
5. Эфиродинамическое импульсное светодиодное излучение в десятки килогерц, в том числе экранированное алюминиевой фольгой и/или светонепроницаемым экраном – **измерения позволяют видеть наплыв тучи на Солнце** (разброс значений более 2-х раз);
6. Измерение пространственного распределения **"странных излучений"** при **"холодной трансмутации ядер"** ("холодном ядерном синтезе");
7. Измерение пространственного распределения **"патологических излучений"** при плазменном разряде в газообразной, жидкой и твердой среде;
8. Визуализация колебаний градиентов переменного эфирного давления стало возможно благодаря **гальванической развязке измерительной части**, с **50 Мом** входного сопротивления и **входным усилителем с $K_{ус} = 1$** , от визуализации на осциллографе с автономным питанием – переменная составляющая градиентов эфирного давления, **составляющих приблизительно до 30% от средней составляющей, вплоть до частоты 1Mhz.**

Эфиродинамические основы “Торсионного генератора”

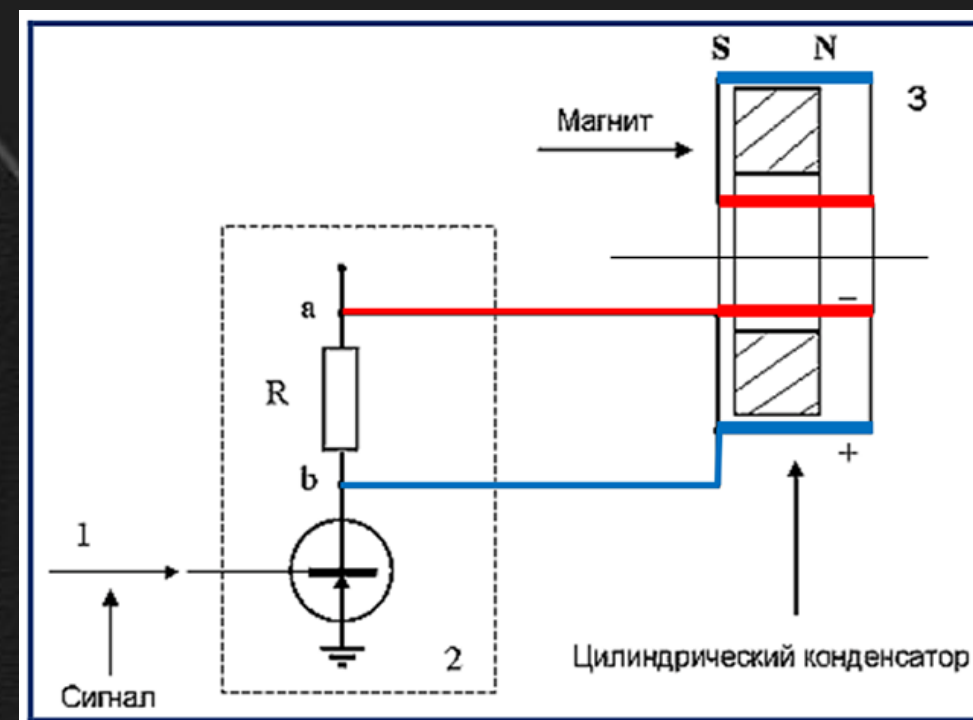
GED-13

– как генератора колебаний давления эфирной среды

“Торсионный Генератор” Акимова, запатентованная схема которого показана справа, состоит из цилиндрического конденсатора, на внутренний электрод подается отрицательное напряжение по отношению ко внешнему электроду от источника переменного напряжения.

Внутри цилиндрического конденсатора находится кольцевой постоянный магнит с полюсами S и N, намагниченный вдоль оси симметрии, который является источником статического “магнитного поля”, как показано на рис. 1.

Для создания торсионного излучения на обкладки конденсатора подается однополярное переменное электрическое поле с помощью управляющего сигнала (1) заданной частоты и формы, с помощью электронной схемы.



“Торсионный Генератор” Акимова

С позиций “Градиентной Эфиродинамики” возникает взаимодействие двух эфирных потоков под действием градиентов эфирного давления:

- порожденный постоянным магнитом – **торoidalный** (без кольцевого движения) **замкнутый на себя поток эфира** по траекториям так называемых “силовых линий магнитного поля”; и
- порожденный переменным однонаправленным напряжением от отрицательного электрода к положительному, создающий **градиент давления эфира, направленный радиально от центра к периферии**.

Взаимодействие двух эфирных потоков над полюсом **N** магнита происходит попеременно то **процесс радиального “разжатия”** – поток “раскрывается” при максимальной разности напряжения), то **радиального “сжатия”** с возвращением к исходному, с частотой и амплитудой, соответствующей входному сигналу, а над полюсом **S** - в противофазе.

Эфиродинамические основы “Торсионного генератора”

GED-14

– как генератора колебаний давления эфирной среды

Вышеописанное приводит к возникновению расходящейся стоячей волны в осевом направлении как от полюса **N** магнита, так и в противофазе от полюса **S** магнита в некотором телесном угле, определяемым соотношением скоростей эфирных потоков, созданных электрическим напряжением на электродах и постоянным магнитом.

Возникающее при этом всепроникающее “торсионное излучение”, или передача свойств и / или информации во множестве экспериментов и исследований, которое не поддается объяснению в традиционной науке и физике!, которое регистрируется приборами серий “ИГЭД”.

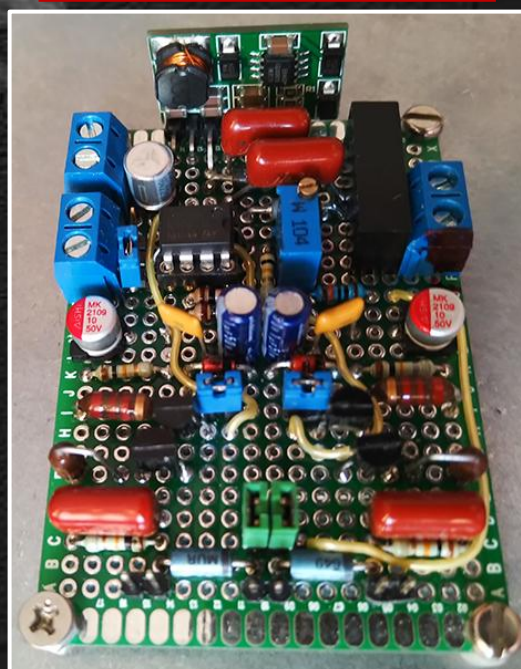
Реализация “Торсионного генератора “TorsGenLab-1”

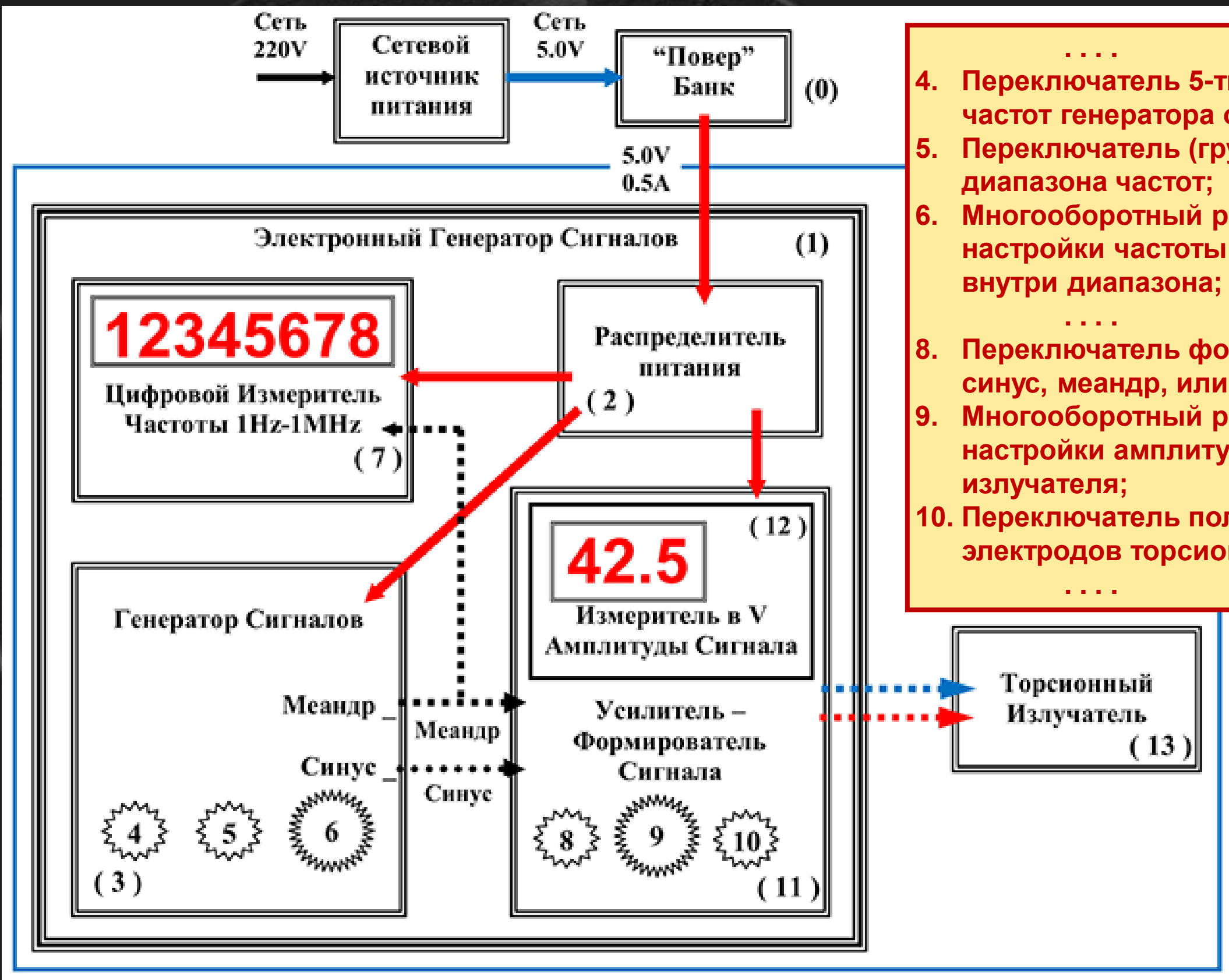
Параметры торсионного генератора “TorgGenLab-1” с независимым установлением:

- частота генерации (5-ть диапазонов) = 1Hz, 10Hz, 100Hz, 3kHz, 65kHz, 1MHz (0.01%);
- однополярное напряжение “меандр” от 0V до 42V с точностью 0.1V;
- однополярное напряжение “синус” от 0V до 28V с точностью 0.1V;
- выбор между синусом и меандром с изменением полярности напряжения на электродах.



Усилитель –
Формирователь





-
- 4. Переключатель 5-ти диапазонов частот генератора от 1Hz до 1MHz;
- 5. Переключатель (грубый) внутри диапазона частот;
- 6. Многооборотный регулятор тонкой настройки частоты генератора внутри диапазона;
-
- 8. Переключатель формы сигнала: синус, меандр, или выключение;
- 9. Многооборотный регулятор тонкой настройки амплитуды напряжения излучателя;
- 10. Переключатель полярности электродов торсионного излучателя;
-

Градиентная Эфиродинамика / GED /
http://www.course-as.ru/AEM_GE/AEM_GED.html

Градиентная Эфиродинамика (Gradient EtheroDynamics)
<https://dzen.ru/id/5f2bb1d3d4bc814db7d741a2>

Градиентная Эфиродинамика Мира
<https://rutube.ru/channel/23916173/>

*Институт Теоретической и
Прикладной Эфиродинамики*
<https://studfile.net/itipe/>

Авшаров Евгений Михайлович
ejen@mail.ru

Спасибо

Сентябрь 2022г.